

УДК 621.9

**І.Г. Грабар, д.т.н., проф.**  
Житомирський інженерно-технологічний інститут

### ПРОБЛЕМИ ЗАБЕЗПЕЧЕННЯ РЕСУРСУ В УМОВАХ СКЛАДНОГО ТЕМПЕРАТУРНО-СИЛОВОГО НАВАНТАЖЕННЯ СУЧАСНИХ МАШИН

*Зроблено спробу побудови методології натурних випробувань конструкцій в умовах складного температурно-силового навантаження.*

Як правило, найбільш навантаженими елементами багатьох сучасних машин – газотурбінних двигунів, силових установок ракетно-космічної техніки, накопичувачів механічної енергії, електричних машин великої потужності є ротори. Саме в цих конструкціях, поряд з агресивним середовищем, високими температурами, змінними напруженнями, аеродинамічними навантаженнями додаються відцентрові сили, що діють протягом значної кількості часу – 10000–100000 годин.

Умови роботи роторів у даних конструкціях мають спільні особливості:

- підвищені температури;
- вплив відцентрових сил протягом тривалого часу;
- спільність конструктивних форм;
- тяжкі соціальні, економічні й екологічні наслідки від їх руйнування.

Ці, а також деякі інші загальні особливості для перерахованих груп конструкцій ускладнюють застосування аналітичних методів для оцінки ресурсу. Хоча аналітичні та числові методи, і особливо метод кінцевих елементів і метод граничних елементів, дозволили досягти істотного прогресу в області оптимального проектування роторів перерахованих пристроїв. В той же час наявність дуже точної і достовірної інформації про локальні й інтегральні поля компонент тензорів напруг і деформацій є недостатніми для безпечної експлуатації цих виробів. Очевидно, в найближче десятиліття в прогнозуванні ресурсу особливо відповідальних вузлів і деталей, із важкими соціальними, економічними й екологічними наслідками у випадку раптових відмов є і залишаються експериментальні методи натурних випробувань.

Для успішного вирішення задач натурних випробувань, і особливо на стадії виготовлення лідерних зразків виробів, необхідно знаходити компроміс між множиною протиріч, із яких основні:

- врахування головних чинників, що впливають на довговічність;
- максимальне скорочення термінів випробувань;
- здешевлення випробувань;
- максимальна правдоподібність одержуваної інформації.

На даний час відсутня єдина методологія прискорених натурних випробувань конструкцій в умовах складного температурно-силового навантаження. Пропонується спроба побудови такої методології на основі принципів синергетики і термоактиваційної концепції руйнування.

#### **Узагальнені граничні поверхні жароміцних сплавів на основі нікелю і на основі заліза**

Для оцінки довготривалої міцності і прогнозування гарантованого ресурсу елементів роторів необхідно розглянути поведінку конструкційного матеріалу в тривимірному просторі “час–напруження–температура”, якому в стаціонарних умовах відповідає стаціонарне рівняння Журкова:

$$\tau = \tau_0 \exp \frac{U_0 - \gamma_j \sigma}{kT}, \quad (1)$$

де  $\gamma_j$  – активаційний об'єм. Для цієї цілі частіше користуються узагальненими діаграмами, які забезпечують більш просту графічну інтерпретацію експериментальних даних. Із логарифмування (6.1), отримаємо:

$$\sigma = \frac{U_0}{\gamma} - \frac{k \ln 10}{\gamma} (T \lg \frac{\tau}{\tau_0}), \quad (2)$$

що відповідає лінійному рівнянню:

$$\sigma = A - B * P_r, \quad (3)$$

де

$$A = \frac{U_0}{\gamma}; \quad B = \frac{k}{\gamma} \ln 10; \quad P_\tau = T \cdot \lg \frac{\tau}{\tau_0}$$

Як правило, для переважної більшості жароміцних сплавів на основі заліза та на основі нікелю, і, пасамперед, сплавів ЕІ і ЕП, повна діаграма “ $\sigma$ - $P_\tau$ ” в широкому діапазоні значень параметра ( $P_\tau$  ( $P_\tau \in [4500-22000]$  – від короточасної міцності при кімнатних температурах до тривалої міцності 10000 годин при 0.7–0.8 Ts ) містить два лінійних участки (рис. 1).

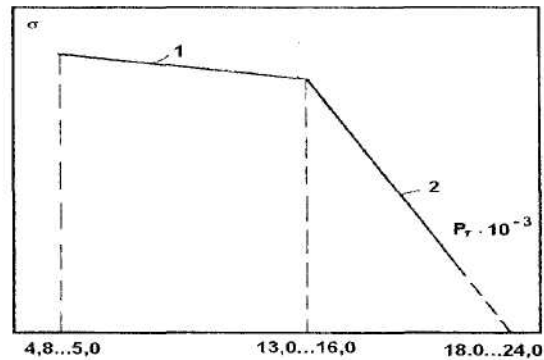


Рис. 1. Схематичне зображення узагальненої “ $\sigma$ - $P_\tau$ ” – діаграми жароміцних ЕІ і ЕІ сплавів

На рис. 2–4 наведені узагальнення “ $\sigma$ - $P_\tau$ ” діаграм для деяких із сплавів ЕІ і ЕП.

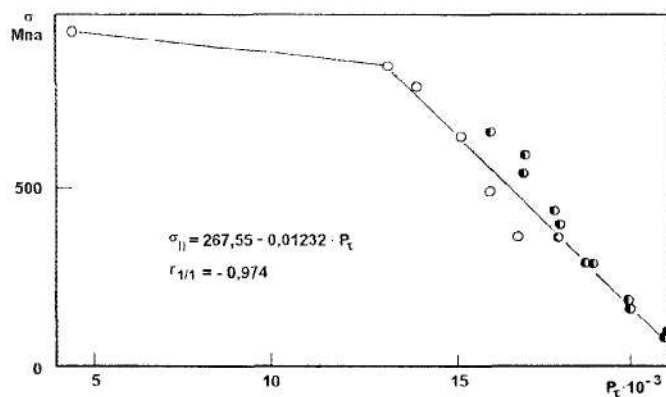


Рис. 2. Узагальнена “ $\sigma$ - $P_\tau$ ” – діаграма сплаву ЕІ 437 Б

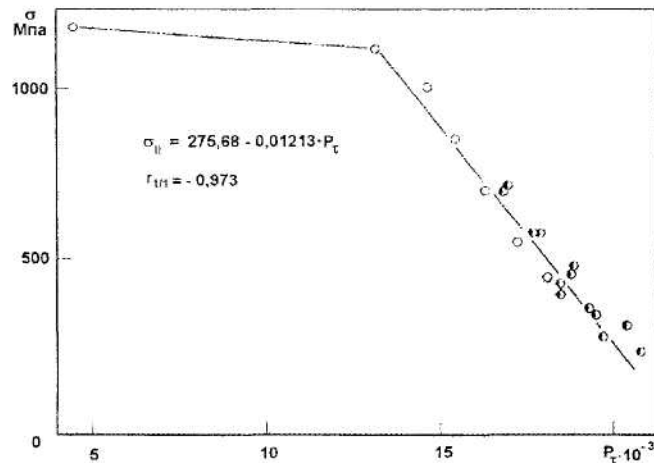


Рис. 3. Узагальнена “ $\sigma$ - $P_\tau$ ” – діаграма сплаву ЕП 590

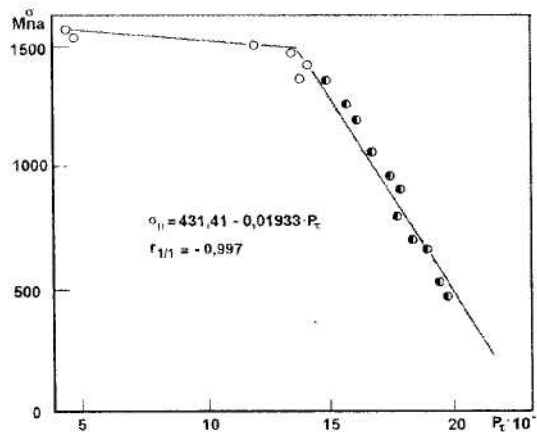


Рис. 4. Узагальнена “σ – Pτ” – діаграма сплаву ЕП1962ІД

В табл. 1 наведені результати термоактиваційного аналізу для кожного зі сплавів.

Таблиця 1

Термоактиваційні параметри сплавів на основі Fe і на основі Ni, розраховані за діаграмами короточасної (КМ) та тривалої (ТМ) міцності

| Сплав    | Осно-<br>ва | U <sub>0</sub> · кДж / моль |       | γ, кДж / моль · МПа |       |
|----------|-------------|-----------------------------|-------|---------------------|-------|
|          |             | КМ                          | ТМ    | КМ                  | ТМ    |
| Сталь 20 | Fe          | 312,4                       | 330,9 | 0,338               | 0,405 |
| Сталь 40 | Fe          | 297,5                       | 326,7 | 0,198               | 0,253 |
| Сталь 45 | Fe          | --                          | 329,2 | --                  | 0,264 |
| ЕІ 388   | Fe          | 397,6                       | 410,1 | 0,240               | 0,334 |
| ЕІ 473 б | Ni          | 379,9                       | 415,7 | 0,141               | 0,155 |
| ЕІ 481   | Fe          | 429,6                       | 421,2 | 0,299               | 0,255 |
| ЕІ 617   | Ni          | --                          | 481,1 | --                  | 0,322 |
| ЕІ 680   | Fe          | --                          | 403,0 | --                  | 0,297 |
| ЕІ 696   | Fe          | 419,0                       | 422,6 | 0,219               | 0,198 |
| ЕІ 698   | Ni          | 395,7                       | 422,9 | 0,127               | 0,134 |
| ЕІ 765   | Ni          | --                          | 457,0 | --                  | 0,309 |
| ЕІ 802   | Fe          | --                          | 395,7 | --                  | 0,308 |
| ЕІ 867   | Ni          | 403,1                       | 455,9 | 0,126               | 0,161 |
| ЕІ 961   | Fe          | 356,8                       | 348,3 | 0,147               | 0,126 |
| ЕІ 993   | Fe          | --                          | 393,1 | --                  | 0,247 |
| ЕП 590   | Ni          | 403,0                       | 437,7 | 0,127               | 1,157 |
| ЕП 709   | Fe          | 393,4                       | 418,3 | 0,145               | 0,147 |
| ЕП 800   | Ni          | 450,4                       | 466,7 | 0,182               | 0,181 |
| ЕП 898   | Fe          | 494,8                       | --    | 0,407               | --    |
| ЕП 962   | Ni          | 405,3                       | 427,1 | 0,093               | 0,099 |

Для всіх перерахованих матеріалів для участка 2 “σ – Pτ” діаграм отримані кореляційні рівняння виду (2) із високим значенням коефіцієнта кореляції (r > 0,96). Значення активаційного об’єму та енергії активації визначалося за співвідношеннями:

$$\gamma = \frac{k}{B} \ln 10 ; \quad U_0 = \frac{A}{B} k \ln 10 . \tag{4}$$

В табл. 1 наведені значення γ і U<sub>0</sub>, обчислені для участка 2 діаграм за граничними кривими “σ<sub>B</sub> – Pτ”, “σ<sub>e</sub> Pτ”, “σ<sub>ДП</sub> – Pτ”, причому σ<sub>e</sub> для деформування із постійною швидкістю отримано із параболічного наближення. Як показали наші дослідження, всі три наближення дають близькі значення активаційних параметрів. Нами вперше встановлено, що ділянки 2 залежностей “σ – Pτ” для сплавів на основі залізу і для сплавів на основі нікелю є автомодельними.

На рис. 5 і рис. 6 на зображуючих площинах наведені автомодельні залежності жароміцних сплавів на основі заліза і на основі нікелю .

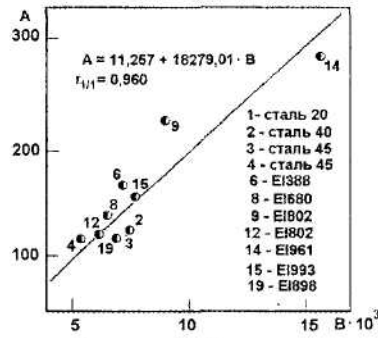


Рис. 5. Зображуючий простір для площини II залежностей  $\sigma = A - B \cdot P_{\tau}$  жароміцних сплавів на основі заліза

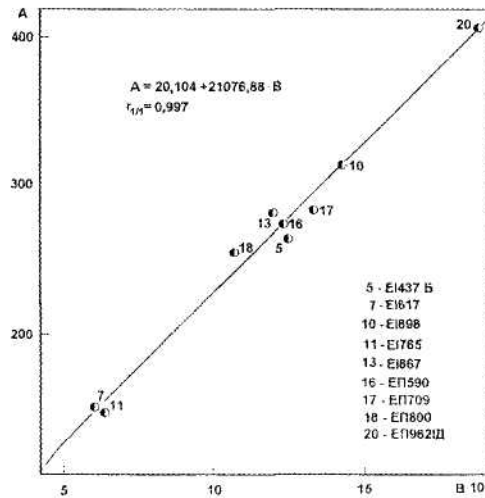


Рис. 6. Зображуючий простір для площини II залежностей  $\sigma = A - B \cdot P_{\tau}$  жароміцних сплавів на основі нікелю

Кореляційний аналіз дає:

а) для сплавів на основі заліза:

$$A = 11,2574 + 18279,01 B; \quad r = 0,960; \tag{5}$$

б) для сплавів на основі нікелю:

$$A = 20,1044 + 21076,88 B; \quad r = 0,997. \tag{6}$$

Високі значення коефіцієнтів кореляції дозволяють припустити, що (5) і (6) можуть бути використані як додаткові умови прогнозу довготривалої міцності. Використовуючи рівняння автотривалості, є можливість прогнозувати тривалу міцність в широкому діапазоні температур і довговічностей (в межах ділянки 2) за єдиною кривою деформування.

В табл. 2 наведені експериментальні значення (чисельник) при випробуваннях на довготривалу міцність і прогноз довготривалої міцності (9) (знаменник). Як витікає з табл. 2, дані прогнозу (в межах дії одного механізму деформування, тобто в діапазоні між двома сусідніми точками біфуркації) досить задовільні.

Таблиця 2

Експериментальні (чисельник) і теоретичні (знаменник) значення тривалої міцності для жароміцного нікелевого сплаву ЕП962 ІД

| $\tau$ , час | 100        |                     | 500        |                     | 1000       |                     |
|--------------|------------|---------------------|------------|---------------------|------------|---------------------|
|              | $P_{\tau}$ | $\sigma_{дп}$ , МПа | $P_{\tau}$ | $\sigma_{дп}$ , МПа | $P_{\tau}$ | $\sigma_{дп}$ , МПа |
| 823          | 15272      | 1340/1270           | 15847      | 1260/1296           | 16094      | 1210/1244           |
| 923          | 17127      | 1020/1028           | 17773      | 910/833             | 18050      | 860/835             |
| 973          | 18055      | 780/834             | 18735      | 670/691             | 19028      | 530/629             |
| 1023         | 18983      | 630/639             | 19698      | 510/490             | 20006      | 460/425             |

### Прискорення термоактиваційних процесів при натурних випробуваннях

Як показано вище, привести у відповідність результати, отримані в умовах одноосьових випробувань на тривалу міцність, до оцінки тривалої міцності конструкцій в умовах складного напружено-деформованого стану, є дуже проблематичним. Аналогічна за складністю задача виникає при оцінці еквівалентності двох складних НДС, що ускладнює прогноз ресурсу, отриманого при одних значеннях компонент тензора  $\{\sigma_{ij}\}$  (прискорені випробування) на випадок експлуатаційних (більш низьких) значень компонент тензора  $\{\sigma_{ij}\}$ . В дійсній роботі почата спроба прогнозу довготривалої міцності в умовах складного НДС, заснована на уявленнях термоактиваційного аналізу і синергетики (в рамках сталості структурного параметра – активаційного обсягу).

Як показано вище на ряді жароміцних і конструкційних матеріалів, учасок 2 залежності " $\sigma - P_\tau$ " має достатньо високі ( $r > 0,96$ ) значення коефіцієнта кореляції для випробувань при різноманітних сполученнях  $\{\sigma, \tau, T\}$ . Це дозволяє підтверджувати, що в просторі  $\{\{\sigma_{ij}\}; \tau, T\}$ , де  $\{\sigma_{ij}\}$  – тензор напружень, якщо неможливо визначити критерії еквівалентності НДС, можна знайти інші шляхи прискорення випробувань, що дозволяють обминути виниклу трудність.

В тензорному вигляді рівняння Журкова для стаціонарного навантаження при складному НДС можна записати:

$$\{\tau_{ij}\} = \{\tau_0\} \exp \frac{U_0 - \gamma \{\sigma_{ij}\}}{k\{T_{ij}\}}. \quad (7)$$

Як відомо, незалежні змінні "час" і "температура" мають нульовий ранг тензорів, тоді як тензор напружень має ранг, що дорівнює двом. Це дозволяє записати (без врахування термопружних ефектів) для складного НДС:

$$\tau_{ij} = \tau_0 \exp \frac{U_0 - \gamma \{\sigma_{ij}\}}{kT}. \quad (8)$$

Із (8) витікає єдиний спосіб прискорення термоактиваційних процесів, що не пов'язаний із критеріями еквівалентності багатомірних розмірів – це масштабне перетворення тензорів нульового рангу (скалярів) як одномірних, а значить інваріантних розмірів.

Як показано вище, для жароміцних сплавів існує (в межах ділянки 2) однозначний лінійний зв'язок " $\sigma - P_\tau$ " із добрим ( $r > 0,96$ ) значенням коефіцієнта кореляції. Легко побачити, що в координатах " $\{\sigma_{ij}\} - P_\tau$ " тензорні змінні розділилися за рангами. Так, комплекс:

$$P_\tau = T \cdot \lg \frac{\tau}{\tau_0} \quad (9)$$

є комбінацією тензорів нульового рангу. Це дозволяє запропонувати спосіб прискореного підтвердження гарантованого ресурсу для конструкцій, що працюють в умовах складного напружено-деформованого стану.

Ідея методу заснована на дотриманні сталості компонент тензора:

$$\{\sigma_{ij}\} = \text{const}. \quad (10)$$

що, з огляду на високе значення коефіцієнта кореляції залежності " $\sigma - P_\tau$ ", дозволяє записати, що:

$$P_\tau = \text{const} \quad (11)$$

Коефіцієнт прискорення випробувань  $K_u$  можна задати у вигляді:

$$\lg k_u = (T_2 / T_1 - 1) \lg(t_2 / t_0),$$

де  $(T_2, \tau_2)$  – температура і довготривалість прискорених випробувань;

$T_1$  – експлуатаційна температура.

Запропонований спосіб дозволяє реалізувати прискорення натурних випробувань як стаціонарного температурного поля ( $d/dt = 0; \nabla T = 0$ ), так і при деяких сполученнях просторово-часової нестационарності  $\frac{dT}{dt} = 0$ .

### Еквівалентні прискорені випробування на забезпечення гарантованого ресурсу дисків турбомашин

а) Просторово-часова стаціонарність температурного поля ( $\dot{T} = 0; \nabla T = 0$ ).

Запропоновано експериментально-теоретичний спосіб прискорених натурних випробувань на забезпечення гарантованого ресурсу конструкцій при складному стаціонарному НДС, зокрема, роторів і дисків в полі відцентрових сил (ВЦС).

Ціль способу – скорочення часу дорогих натурних випробувань, особливо на стадії проектування і доводки виробів нової техніки, що містять відповідальні обертові конструкції з великим гарантованим ресурсом.

Поставлена ціль досягається тим, що випробування проводяться при частоті обертання на рівні експлуатаційної ( $n_2 = n_1 + \Delta n$ ), що забезпечує адекватність тензора напруженого стану  $\{\sigma_{ij}\}$  експлуатаційним умовам, а скорочення часу випробувань досягається за рахунок прискорення термоактиваційних процесів. При цьому, як очевидно із (9):

$$\tau_2 < \tau_1; T_2 > T_1, \quad (12)$$

де  $\{T_1\tau_1\}$  – експлуатаційні температура і ресурси;

$\{T_2\tau_2\}$  – температура і час прискорених випробувань.

Із (9) знаходимо зв'язок між ними:

$$\tau_2 = \left( \frac{\tau_1}{\tau_0} \right)^{\frac{T_1}{T_2}}, \quad (13)$$

де  $\tau_0 \approx$  період власних коливань вузлів кристалічного штахету матеріалу випробуваної конструкції.

Технічні можливості існуючих стендів для випробувань обертових конструкцій, в тому числі і стендів Житомирського інженерно-технологічного інституту, дозволяють скоротити час натурних випробувань на два-три порядки, що поряд із великим економічним ефектом забезпечить соціальний ефект, і насамперед – за рахунок більшої гнучкості і багатоваріантності конструкторських рішень, спрямованих на зниження матеріалоємкості при збереженні і навіть підвищенні гарантованого ресурсу.

#### Приклад.

Для диска газотурбінного авіаційного двигуна, що працює при частоті обертання  $n = 13000$  об/хв. та температурі  $T = 600$  °С, гарантований ресурс за тривалою міцністю повинен становити  $\tau_1 = 10000$  год. Визначити умови еквівалентних прискорених випробувань із коефіцієнтом прискорення  $K_y = 1000$ .

#### Розв'язок.

Напружено-деформований стан диска є складним (навіть в осесиметричній постановці), що істотно ускладнює можливість скорочення часу випробувань за рахунок підвищення частоти обертання. Отже, частоту обертання прискорених випробувань прийемо на рівні експлуатаційної:

$$n_2 = n_1 + |\Delta n|,$$

де  $\Delta n$  – похибка виміру частоти обертання.

У нашому випадку  $\frac{\Delta n}{n_1} \approx 0,02$ . Тоді:

$$n_2 = 1,02n_1 = 13260 \text{ об/хв.}$$

З умови (6.16) маємо:

$$T_2 = (600 + 273) \frac{\lg(10^{13} \cdot 3600 \cdot 10000)}{\lg(10^{13} \cdot 3600 \cdot 10)} = 1022 \text{ K} = 749^\circ \text{C}$$

Таким чином, неруйнування диска при частоті обертання  $n_2 = 13260$  об/хв і температурі  $T = 749$  °С протягом 10 годин гарантує тривалу міцність диска в 10000 годин при температурі 600 °С і частоті обертання 13000 об/хв.

Експериментальна перевірка підтвердила достовірність наведених оцінок.

ГРАБАР Іван Григорович – доктор технічних наук, професор, перший проректор, проректор з наукової роботи Житомирського інженерно-технологічного інституту.

Наукові інтереси:

- синергетика та нелінійні явища;
- нелінійна динаміка;
- фізика та механіка руйнування;
- сучасні технології.